



## شبیه‌سازی گردابه‌های بزرگ جریان آشفته سه بعدی جابجایی ترکیبی داخل محفظه دارای تهویه حاوی مانع و استخراج ساختارهای منسجم به روش تفکیک به مودهای متعامد

صابر یکانی مطلق<sup>۱\*</sup> و پریا سوروی<sup>۲</sup>

<sup>۱</sup> استادیار، دانشکده مکانیک، دانشگاه صنعتی ارومیه

<sup>۲</sup> دانشجوی کارشناسی ارشد، دانشکده مکانیک، دانشگاه صنعتی ارومیه

مقاله مستقل، تاریخ دریافت: ۱۳۹۵/۰۹/۱۵؛ تاریخ بازنگری: ۱۳۹۶/۰۱/۱۵؛ تاریخ پذیرش: ۱۳۹۶/۰۶/۱۱

### چکیده

در مقاله حاضر جریان آشفته سه بعدی داخل محفظه دارای تهویه همراه با انتقال حرارت ترکیبی (آزاد-اجباری) به روش شبیه‌سازی گردابه‌های بزرگ (LES) حل و با نتایج آزمایشگاهی و عددی موجود اعتبارسنجی شد. انتقال حرارت اجباری در کار حاضر به دلیل ورود سیال از سیستم تهویه به داخل محفظه و انتقال حرارت آزاد به دلیل اختلاف دمای قسمت کف و دیوارهای محفظه است. به منظور بررسی اثر مانع بر مشخصه‌های جریان، شبیه‌سازی برای مانع با سه ارتفاع متفاوت انجام گرفته است. در ادامه با اعمال الگوریتم تفکیک به مودهای متعامد (POD) بر میدان سرعت نوسانی درجهت  $x$ ، تاثیر مانع بر ساختارهای منسجم مورد بررسی قرار گرفته‌اند. نتایج نشانگر این است که اولاً مانع سبب افزایش شدید انرژی ساختارهای منسجم جریان می‌شود، ثانیاً مانع با ارتفاع زیاد، ساختارهای منسجم جریان را کوچکتر و مانع با ارتفاع متوسط و کوچک، سبب پزرگتر شدن ساختارهای منسجم جریان می‌شوند.

**کلمات کلیدی:** شبیه‌سازی گردابه‌های بزرگ؛ محفظه دارای تهویه؛ مانع؛ ساختارهای منسجم؛ تفکیک به مودهای متعامد.

## Large Eddy Simulation of Three Dimensional Mixed Convection Flow Inside the Ventilated Cavity Containing Obstacle and Extraction of Coherent Structures using Proper Orthogonal Decomposition (POD)

S. Yekani Motlagh<sup>1</sup>, P. Sarvari<sup>2\*</sup>

<sup>1</sup> Assist. Prof., Mech. Eng., Urmia Univ. of Tech. (UUT), Urmia, Iran.

<sup>2</sup> Ms.c. Student, Mech. Eng., Urmia Univ. of Tech. (UUT), Urmia, Iran.

### Abstract

In the present paper, three dimensional turbulent mixed convection inside the ventilated cavity is solved using by Large Eddy Simulation (LES) and the results are validated with available numerical and experimental ones. In the present work, the forced convection and free convection are due to the injected flow from ventilation system and temperature difference among floor and other walls of cavity, respectively. The effects of obstacle on flow characteristics such as velocity, temperature and turbulent kinetic energy are investigated for cavity flow containing obstacle with three different height. In continuation, effect of obstacles on coherent structures are investigated by applying the proper orthogonal decomposition (POD) algorithm on velocity fluctuation field in  $x$  direction. From the results, firstly, obstacle causes to increase the energy of coherent structures, and secondly, obstacle with large height break the coherent structures to smaller ones, but for obstacles with medium and small height dominant structures are enlarged.

**Keywords:** Large Eddy Simulation (LES); Ventilated Cavity; Obstacle; Coherent Structures; Proper Orthogonal Decomposition (POD).

\* نویسنده مسئول؛ تلفن: ۰۹۱۴۱۴۵۲۱۵۲

آدرس پست الکترونیک: [syekani@yahoo.com](mailto:syekani@yahoo.com); [syekani@uut.ac.ir](mailto:syekani@uut.ac.ir)

**۱- مقدمه**

انتقال حرارت جابجایی ترکیبی داخل محفظه‌ها، یکی از زمینه‌هایی است که هم از نظر دینامیک سیالات محاسباتی و هم از جنبه‌ی کاربردهای صنعتی، طراحی سیستم‌های تهویه، ذخیره‌سازی انرژی و ... دارای اهمیت است. به علاوه جریان سه بعدی آشفته همراه با انتقال حرارت جابجایی ترکیبی هوا داخل اتاق تحت اثر نیروی بویانسی (جابجایی آزاد) و نیروی ناشی از دستگاه‌های تهویه هوا (جابجایی اجباری) مهم و به دلیل پیچیدگی که دارد، مورد بحث محققان است. در این نوع جریانات، ساختارهای جریان دارای تنوع است. از این بین شناخت ساختارهای اصلی یا منسجم جریان آشفته می‌تواند کمک شایانی به کنترل و بهبود انتقال حرارت داشته باشد.

در مقالات مختلفی در سال‌های اخیر، مسئله محفظه بررسی شده است. از جمله‌ی آن‌ها، آلینبا و همکاران [۱] در ۲۰۱۱ است که در آن انتقال حرارت ترکیبی در یک محفظه که دیواره چپ و راست آن در دمای ثابتی است و دیواره بالایی و پایینی ایزوله می‌باشند و حرکت می‌کنند، بررسی شده است. رهنا نسرین [۲] در ۲۰۱۱، اثرات عدددهای رایلی و پرانتل روی محفظه دارای یک دیواره موج دار و یک دیواره را بررسی کرده است که با سرعت ثابت حرکت می‌کند. در مقاله فریدون و همکارانش [۳] مربوط به سال ۲۰۱۳ که در آن مساله انتقال حرارت ترکیبی در یک محفظه با دو دیواره در حال حرکت مطرح است. در این مقاله، انتقال حرارت با وجود ذرات داخل آن‌ها در اعداد رینولدز و ریچاردسون مختلف، مورد تحلیل و بررسی قرار گرفته است. در مقاله دیگری از ژانگ و همکارانش [۴] در ۲۰۱۳ که در آن مطالعه عددی دو بعدی روی محفظه دارای یک سیلندر دایره‌ای در اعداد رینولدز  $1000$  و  $500$  و  $Re = 10^5$  و  $Gr = 10^5$  صورت گرفته است که دیواره بالایی حرکت می‌کند و دمای ثابتی دارد و دیواره پایین در حالت سکون است و دمای بالاتری از دیواره بالایی دارد. نتیجه‌ی به دست آمده از این بررسی، این بوده است که پارامترهای جریان سیال و انتقال حرارت همانطور که بستگی زیادی به جابجایی آزاد و اجباری دارند، به طرز قرار گرفتن استوانه دایره‌ای نیز بستگی دارند. نتایج مطالعه محاسبات دو بعدی و سه بعدی عددی در مورد جریان با یک صفحه متحرک، در یک محفظه مربعی، در مقاله‌هایی از جنگ و تزنگ [۵] در ۲۰۰۸ و قاسمی و امین

الساداتی [۶] در ۲۰۰۸ و شریف [۷] در ۲۰۰۷ و ونگ [۸] در ۲۰۰۸ و لوو و یانگ [۹] در ۲۰۰۷ و خانافر [۱۰] در ۲۰۰۷ و ازتوپ [۱۱] در ۲۰۰۴ و شانکارو دشپاند [۱۲] در ۲۰۰۰ و آیدین و یانگ [۱۳] در ۲۰۰۰ و آیدین [۱۴] در ۱۹۹۹ و محمد و ویسکانتا [۱۵] در ۱۹۹۵ می‌باشند.

مساله انتقال حرارت ترکیبی داخل محفظه دارای تهویه، توسط مرگوئی [۱۶] به صورت تجربی مورد مطالعه قرار گرفت. همچنین این جریان توسط محققان متعددی به روش‌های عددی میانگین رینولدز (RANS) و شبیه‌سازی گردابه‌های بزرگ (LES) بررسی شده است [۲۱-۲۷]. زو و چن [۲۱]، توسط متدهای عددی میانگین رینولدز، سازگاری خوبی مابین الگوی جریان حاصل از کار عددی و آزمایشگاهی مشاهده کرد. ژنگ و همکارانش [۱۸]، به مقایسه مدل‌های مختلف روش میانگین گیری رینولدز، روش شبیه‌سازی گردابه‌های بزرگ پرداخت. اخیراً مساله انتقال حرارت ترکیبی دارای تهویه به روش شبیه‌سازی گردابه‌های بزرگ، توسط ایزوحری [۲۲] مورد مطالعه قرار گرفت. وی نشان داد که محل ورودی سیستم تهویه تاثیر زیادی روی ساختارهای جریان داخل محفظه دارد.

روش تفکیک به مودهای متعامد (POD)، یکی از روش‌هایی است که برای مطالعه ساختارهای منسجم و غالباً جریان‌های آشفته استفاده می‌شود. این روش مجموعه‌ای از توابع ویژه (مودهای) مکانی متعامد را با استفاده ازتابع همبستگی مرتبه دوم استخراج می‌کند (برکوز و همکاران [۲۳] و سیوروویچ [۲۴]). در این روش مودهای مکانی بر اساس میزان انرژی آن‌ها مرتب می‌شوند. ترکیب خطی مودهای پرانرژی، نشانگر ساختارهای حاوی انرژی یا ساختارهای منسجم جریان است. آلفونسی و پریماورا در سال ۲۰۰۶ [۲۵]، جریان آشفته داخل کانال را به روش شبیه‌سازی مستقیم عددی (DNS) حل و ساختارهای غالب را توسط تکنیک تفکیک به مودهای متعامد بدست آورdenد. ونگ و همکاران در سال ۲۰۱۱ [۲۶]، مکانیزم کاهش درگ و انتقال حرارت را با استفاده از نتایج حل شبیه‌سازی مستقیم عددی و استخراج ساختارهای چند مقیاسی توسط روش تفکیک به مودهای متعامد پرداختند. یانگ و همکاران در سال ۲۰۱۴ [۲۷]، جریان نانو سیال آشفته را توسط روش شبیه‌سازی مستقیم عددی مدل‌سازی و با استفاده از آنالیز تفکیک به

مقیاس‌های مختلف شعله در احتراق پیش آمیخته توسط POD پرداختند. کافل و همکاران (۲۰۱۶) [۳۸]، به آنالیز POD اثر اغتشاش جانبی بر جت دیواره پرداختند. سرکار و همکاران (۲۰۱۶) [۳۹]، به بررسی اثر چرخش سیلندر بر ساختارهای جریان جابه‌جایی ترکیبی نانوسيال مس-آب پشت استوانه دوراً پرداختند. آنها دریافتند که تعداد مودهای POD سازنده ساختارهای منسجم پشت استوانه با چرخش آن افزایش می‌یابد. ویگاس و همکاران (۲۰۱۶) [۴۰]، توسط متدهای POD نشان دادند که ریزش گردابه پشت بال با زاویه حمله کوچک، سبب ایجاد نیروی لیفت و درگ پریدیک می‌شود. ساها و همکاران (۲۰۱۷) [۴۱]، به بررسی ساختارهای منسجم جریان داخل کانال حاوی مولد ورتكس طولی توسط POD پرداختند. آنها دریافتند که ساختارهای منسجم، مربوط به مودهای پرانرژی POD است. لنگانی و همکاران (۲۰۱۷) [۴۲]، به مطالعه تجربی تولید تنفس رینولوز در حباب جدایش با استفاده از روش POD پرداختند. آنها دریافتند که عدد رینولوز و شدت توربولانس جریان، اثر مستقیم بر تعداد مودهای دخیل در تولید تنفس رینولوز دارند. چن و کیا (۲۰۱۷) [۴۳]، جریان آشفته اطراف یک سیلندر مربعی را به روش شبیه‌سازی گردابه‌های بزرگ حل و توسط روش POD فازهای فرآیند ریزش گردابه را در پشت سیلندر بدست آوردند. لنگانی و همکاران (۲۰۱۷) [۴۴]، با بررسی آزمایشگاهی و استفاده از روش POD، اثر آشفتگی جریان آزاد در گذار به جریان آشفته را مطالعه کرد که تحت اثر گرادیان معکوس است و ناپایداری‌های جدی را در رگه‌های جریان داخل لایه مرزی مشاهده نمودند. بیسونی و همکاران (۲۰۱۷) [۴۵]، توسط اعمال الگوریتم POD بر نتایج شبیه‌سازی گردابه‌های بزرگ به بررسی ساختارهای منسجم جریان آشفته جت آزاد پرداختند. آنها دریافتند که ۹۰ درصد آرژی جنبشی نوسانات آشفته، در ۱۰۰ مود اول قرار دارد.

از آنجا که نقش اصلی در تولید و کنترل آشفتگی جریان بر عهده ساختارهای منسجم یا ادی‌های بزرگ و پرانرژی جریان است، کنترل مکانیزم تولید توربولانس، بهبود اختلاط و انتقال حرارت در جریانات آشفته با تغییر ساختارهای منسجم جریان میسر است. بر اساس بررسی‌های صورت گرفته، ساختارهای منسجم جریان در محفظه‌های دارای

مودهای متعامد مکانیزم انتقال حرارت در آن را بررسی کردند. اخیراً یکانی مطلق و تقی‌زاده در سال ۲۰۱۶ [۲۸]، مکانیزم تولید توربولانس را در محیط متخخل توسط تفکیک به مودهای متعامد مورد مطالعه قرار دادند و متفاوت بودن فرآیند تولید آشفتگی در محیط‌های متخخل و غیر متخخل را مشاهده کردند. موسایی (۱۳۹۳) [۲۹]، ساختارهای منسجم جریان آشفته داخل کanal حاوی فیبر را بررسی کرد. نتایج او نشانگر این بود که ساختارهای منسجم جریان داخل کanal که به شکل نعل اسی می‌باشند، بر اثر حضور فیبر به فواصل دورتر از دیواره منتقل می‌شوند. تهرانی و همکاران (۱۳۹۴) [۳۰]، ساختارهای جریان جنک‌کاری لبه جلویی پره توربین را به روش‌های شبیه‌سازی گردابه‌های بزرگ و شبیه‌سازی گردابه‌های مجزا، حل و مورد بررسی قرار دادند. نتایج آنها نشانگر این بود که روش شبیه‌سازی گردابه‌های بزرگ به خصوص در نزدیکی دیواره، بهتر از روش شبیه‌سازی گردابه‌های مجزا مشخصه‌های جریان را پیش‌بینی می‌کند. رضائی و مغربی (۱۳۹۴) [۳۱]، به بررسی انتقال حرارت جابجایی آرام نانوسيال داخل یک محفظه بسته متخخل پرداخته و ساختارهای آن را مورد بررسی قرار دادند. علوی و همکاران (۱۳۹۵) [۳۲]، ساختار جریان جابجایی آزاد نانوسيال را داخل یک محفوظه بسته ال شکل دارای بافل، مورد بررسی قرار دادند. ژانویو و همکاران (۲۰۱۶) [۳۳]، با اعمال الگوریتم POD بر نتایج آزمایشگاهی جریان ناپایایی روی هیدروفول حاصل از روش PIV، به ساختارهای منسجم جریان در زوایای حمله مختلف پرداختند. گومز و همکاران (۲۰۱۶) [۳۴] با اعمال POD بر نتایج آزمایشگاهی میدان آشفته داخل محفظه احتراق توربین گازی، ساختارهای منسجم و آشوبناک آن را استخراج کردند. الهیمر و همکاران (۲۰۱۶) [۳۵]، با استفاده از الگوریتم POD و اعمال آن بر نتایج آزمایشگاهی اطراف دو سیلندر به این نتیجه رسیدند که ساختارهای منسجم اطراف استوانه‌ها و جریان مابین دو استوانه، کاملاً متفاوت می‌باشند. ماهاباترا و همکاران (۲۰۱۶) [۳۶]، به بررسی ساختارهای تولید شده توسط دو منبع حرارتی داخل یک محفوظه بسته که به صورت متناوب فعال می‌شوند، توسط POD پرداختند. آنها محتوای انرژی مودهای مختلف مربوط به ساختارهای منسجم را بررسی کردند. مأوریس و همکاران (۲۰۱۶) [۳۷]، به بررسی

سیال،  $T_h$  دمای دیواره گرم،  $U_{inj}$  سرعت جریان ورودی از سیستم تهویه به داخل محفظه،  $\delta$  عدد دما،  $Pr$  عدد پرانتل سیال،  $Ra$  عدد رایلی و  $Re_H$  عدد رینولدز جریان می‌باشند. بر اساس پارامترهای بی بعد تعریف شده معادلات بی بعد در جریان به فرم (۴-۶) نوشته می‌شوند.

معادله‌ی بی بعد پیوستگی:

$$\nabla^* \cdot V^* = 0 \quad (4)$$

معادله‌ی بی بعد مومنتم:

$$\frac{\partial V^*}{\partial t^*} + V^* \cdot \nabla^* V^* = -\nabla^* p^* + \left( \frac{1}{Re_H} \right) \nabla^* \cdot \nabla^* V^* + \left[ \frac{1}{Pr} \cdot \frac{Ra}{Re_H^2} \cdot T^* \right] \cdot e_g \quad (5)$$

که  $e_g = \frac{g}{|g|}$  بردار یکه شتاب گرانش می‌باشد.

معادله‌ی بی بعد انرژی:

$$\frac{\partial T^*}{\partial t^*} + V^* \cdot \nabla^* T^* = \frac{1}{(Pr + Pr_t)} \nabla^* \cdot \nabla^* T^* \quad (6)$$

## ۱-۱-۲- مدل توربولانسی

در روش شبیه‌سازی گردابه‌های بزرگ، برای مدل‌سازی ویسکوزیته توربولانسی مدل‌های بسیاری ارائه شده است. از این میان مدل اسماگرونیسکی دینامیکی ژرمانو و همکاران [۴۷]، هم دارای هزینه محاسباتی پایین و هم دقت قابل قبول است. در این روش ضرایب ثابت مدل که عموماً وابسته به نوع جریان هستند، طی یک فرآیند دینامیکی از اطلاعات میدان سرعت حل شده بدست می‌آیند. در مدل استاندارد اسماگرونیسکی دینامیکی تانسور تنش زیر شبکه به شکل زیر تعریف می‌شود.

$$\tau_{ij} - \frac{\delta_{ij}}{3} \tau_{kk} = -2c \Delta^2 |\bar{S}| \bar{S}_{ij}$$

که  $\bar{S}_{ij} = \frac{1}{2} \left( \frac{\partial \bar{u}_i}{\partial x_j} + \frac{\partial \bar{u}_j}{\partial x_i} \right)$  تانسور نرخ کرنش میدان فیلتر شده و  $|\bar{S}| = (2\bar{S}_{ij}\bar{S}_{ij})^{1/2}$  اندازه آن می‌باشند.  $\delta_{ij}$  دلتای کرونیکر،  $x_i$  و  $x_j$  مختصات و مولفه‌های بردار سرعت فیلتر شده در جهت i (i= ۱، ۲، ۳) می‌باشند. پهنای فیلتر شبکه به صورت  $\Delta = (\Delta x \Delta y \Delta z)^{1/3}$  تعریف می‌شود که  $\Delta x$  و  $\Delta y$  و  $\Delta z$  به ترتیب، اندازه شبکه در جهت x، y و z می‌باشند. با در نظر گرفتن فیلتر تست با پهنای دو برابر فیلتر شبکه ( $\bar{\Delta} = 2\Delta$ )، ثابت مدل c به صورت دینامیکی از اطلاعات میدان جریان به شکل زیر به دست می‌آید:

تهویه به روش POD تا بحال صورت نگرفته است؛ لذا در کار حاضر ابتدا جریان سه بعدی آشفته داخل محفظه دارای تهویه در حضور مانع سه بعدی و بدون آن به روش شبیه‌سازی گردابه‌های بزرگ حل می‌شود و برای اولین بار با استفاده از روش تفکیک به مودهای متعامد بر اساس اسنپ شات که دارای هزینه محاسباتی پایینی است (سیروویچ و همکاران [۴۶]، سیروویچ و روذریگز [۲۴])، ساختارهای منسجم جریان در هر دو حالت مورد بررسی قرار می‌گیرد.

## ۲- معادلات حاکم و الگوریتم POD

### ۲-۱-۱- معادلات حاکم

اساس روش شبیه‌سازی گردابه‌های بزرگ فیلتراسیون مکانی، گردابه‌ها و متعاقباً معادلات جریان است. معادلات فیلتر شده پیوستگی، مومنتم و انرژی حاکم بر مساله با فرض جریان تراکم‌ناپذیر، ناپایا، سه بعدی، آشفته و فرض بوزینیسکی برای نیروی شناوری در معادله مومنتم به ترتیب به صورت معادلات ۱، ۲ و ۳ می‌باشند:

$$\nabla \cdot V = 0 \quad (1)$$

$$\frac{\partial V}{\partial t} + V \cdot \nabla V = -\nabla p + \nabla \cdot ((v_f + v_t) \nabla V) + \beta_f (T - T_c) g \quad (2)$$

$$\frac{\partial T}{\partial t} + V \cdot \nabla T = \nabla \cdot \left( (\alpha_f + \frac{v_t}{Pr_t}) \nabla T \right) \quad (3)$$

در روابط (۱-۳)،  $V$  میدان برداری سرعت فیلتر شده یا گردابه‌های بزرگ جریان،  $t$  زمان،  $p$  میدان فشار فیلتر شده،  $T$  میدان دمای فیلتر شده،  $v_f$  ویسکوزیته سینماتیکی سیال،  $v_t$  ویسکوزیته توربولانسی،  $\alpha_f$  ضریب انبساط حجمی،  $T_c$  دمای سیال ورودی و دیواره‌های سرد،  $g$  میدان برداری شتاب گرانش،  $\beta_f$  ضریب نفوذ حرارتی،  $Pr_t$  عدد پرانتل توربولانسی و  $\gamma$  اپراتور نابلایا عملگر دل نام دارد. در کار حاضر به منظور بی بعد سازی معادلات پارامترهای بی بعد زیر استفاده شده است.

$$X = \frac{x}{H}, Y = \frac{y}{H}, Z = \frac{z}{H}, \nabla^* = H \nabla, V^* = \frac{V}{U_{inj}}, t^* = \frac{t U_{inj}}{H}, p^* = \frac{p}{\rho_f U_{inj}^2}, T^* = \frac{T - T_c}{T_h - T_c}, \delta = \frac{T_c}{T_h - T_c}, Ra = \frac{g \beta_f (T_h - T_c) H^3}{\alpha_f v_f}, Pr = \frac{v_f}{\alpha_f}, Re_H = \frac{U_{inj} H}{v_f}$$

در عبارات بالا، بالانتویس (\*) نشانگر پارامتر بی بعد شده متغیرهای جریان است. به علاوه، H ارتفاع محفظه،  $\rho_f$  چگالی

که  $u'$  نشانگر نوسانات سرعت در جهت  $x$ ،  $(u_1)$ ،  $y$ ،  $(u_2)$  یا  $z$ ،  $(u_3)$  است.  $\Omega$  نشانگر میدان سه بعدی حل،  $\vec{X}$  مختصات بی بعد و  $N$  تعداد اسنپشاتها است.

۲- از طریق تفکیک به مقادیر منفرد (SVD) تانسور  $C$  مقادیر و بردارهای ویژه بدست می آیند:

$$CA = \lambda A$$

که  $\lambda$  مقدار ویژه و  $A$  بردار ویژه مربوط به آن است.

۳- مودهای ویژه POD با استفاده از بردارهای ویژه و میدان نوسانات سرعت به شکل زیر بدست می آیند:

$$\phi_k(\vec{X}) = \sum_{i=1}^N A_{ki} F'(i, t_i^*)$$

$k$  نشانگر  $k$  امین مود ویژه POD ( $\phi_k$ ) است.

۴- استخراج ساختارهای مختلف جریان بر اساس آنالیز مودهای ویژه POD

انرژی کل میدان نوسانات می تواند توسط مجموع مقادیر ویژه بدست آید.

$$E = \sum_{i=1}^N \lambda_i$$

به علاوه، نسبت انرژی مود  $n$  ام ( $\lambda_n$ ) به انرژی کل به صورت زیر تعریف می شود.

$$\xi_n = \lambda_n / E$$

همچنین، انرژی تجمعی  $N$  مود اول ( $\zeta_n$ ) به صورت زیر تعریف می شود.

$$\zeta_n = \sum_{i=1}^N \lambda_i / E$$

### ۳- هندسه و شرایط مرزی

هندسه محفظه مورد نظر، در شکل ۱ نشان داده شده است. ارتفاع و عرض محفظه برابر  $10\text{m}$  و عمق محفظه برابر  $3\text{m}$  است. هوای سرد در دمای  $15^\circ\text{C}$  درجه سانتی گراد از یک ورودی با ارتفاع  $1.8\text{m}$  در بالاترین قسمت دیواره سمت چپ وارد محفظه می شود، همچنین خروجی با ارتفاع  $0.24\text{m}$  در بخش پایین دیوار سمت راست قرار دارد. مشتق دما در جهت عمود بر سطح خروجی برابر با صفر، به عنوان شرط مرزی دمایی در خروجی مورد استفاده قرار گرفته است [۲۲]. این ورودی و خروجی، در طول عمق محفظه گسترش

$$c = \frac{\langle l_{ij} m_{ij} \rangle_{x_i, hom}}{\langle m_{kl} m_{kl} \rangle_{x_i, hom}}$$

که  $l_{ij}$  و  $m_{ij}$  از روابط زیر بدست می آیند:

$$l_{ij} = \hat{u}_i \hat{u}_j - \hat{u}_i \hat{u}_j$$

$$m_{ij} = -2(\hat{\Delta}^2 |\hat{S}| \hat{S}_{ij} - \Delta^2 |\bar{S}| \hat{S}_{ij})$$

که (۸) نشانگر متغیرهایی است که روی فیلتر تست محاسبه می شوند و  $\langle \cdot \rangle_{x_i, hom}$ ، میانگین گیری در جهت هموزن است. در کار حاضر میانگین گیری در جهت محور  $y$  که شرط مرزی در این جهت پریویدیک است و جهت هموزن محسوب می شود صورت گرفته است، شکل ۱.

### ۲-۱-۲- تنظیمات عددی

در مقاله حاضر برای حل معادلات حاکم، کد باز با نام OpenFOAM استفاده شده است. گسسته سازی معادلات در OpenFOAM، بر اساس روش حجم محدود است. در کار حاضر الگوریتم پیزو برای کوپلینگ سرعت و فشار، مورد استفاده قرار گرفته است. درونیابی ترم های غیر خطی ادوکشن به روش مرتبه دو بالادستی و گسسته سازی ترم های نفوذ به روش مرتبه دو اختلاف مرکزی صورت گرفته است. به علاوه برای ترم زمانی روش مرتبه یک ضمنی استفاده شده است. خروجی های حل عددی وارد کد جدآگاههای شد که در OpenFoam به منظور اعمال الگوریتم POD توسعه یافته است.

### ۲-۲- الگوریتم تفکیک به مود های متعامد (POD)

جزئیات الگوریتم تفکیک به مودهای متعامد را می توان در کار برکوز (۱۹۹۳) یافت. داده هایی که در کار حاضر به منظور آنالیز استفاده شده اند، مربوط به نوسانات سه بعدی سرعت یعنی  $(u_1, u_2, u_3)$  در کل میدان سه بعدی محفظه است. میدان نوسانات سرعت توسط کم کردن سرعت میانگین زمانی از سرعت لحظه ای در تک تک گام های زمانی بدست می آید. در کار حاضر الگوریتم تفکیک به مودهای متعامد ارائه شده توسط سیرووویچ [۴۶] مورد استفاده قرار گرفته که به شرح زیر است.

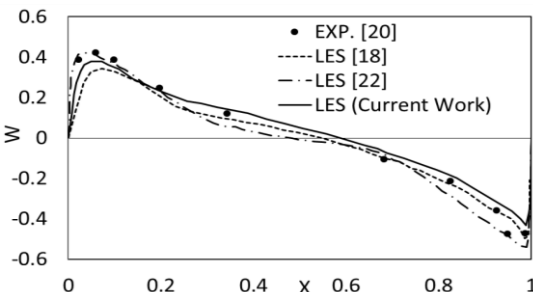
۱- ابتدا ضرب داخلی در فضای هیلبرت بدست می آیند:

$$C_{ij} = \frac{1}{N} \int_{\Omega} u'(\vec{X}, t_i^*) u'(\vec{X}, t_j^*) d\Omega, \\ (i = 1, 2, \dots, N, j = 1, 2, \dots, N)$$

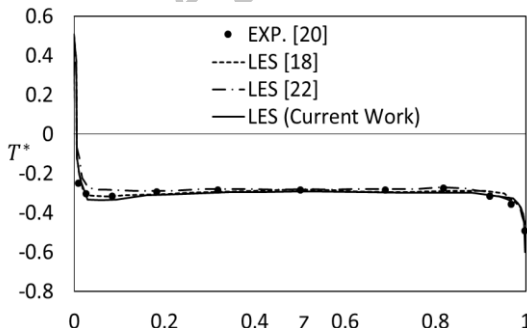
#### ۴- اعتبارسنجی نتایج

در این بخش نتایج کار حاضر با نتایج آزمایشگاهی و سایر نتایج عددی در حالت محفظه بدون مانع مقایسه شده است. در شکل ۲، نتایج متوسط زمانی مولفه سرعت بی بعد شده توسط  $U_{inj}$  در جهت محور  $z$  (W)، روی محور مرکزی موازی محور  $x$  ( $X=x/H$ ) با نتایج تجربی بلای [۲۱]، [۲۲]، نتایج شبیه‌سازی گردابه‌های بزرگ ژنگ [۱۸] و ازوری [۲۲] مقایسه شده است. به علاوه، نتایج توزیع دما و انرژی جنبشی توربولانس روی خط مرکزی موازی محور  $z$  ( $Z=z/H$ ) رسم و با نتایج تجربی و عددی مذکور به ترتیب در شکل ۳ و شکل ۴، مورد مقایسه قرار گرفته است.

همانطور که مشاهده می‌شود، نتایج کار حاضر همخوانی نسبتاً خوبی با نتایج تجربی دارد؛ همچنین نتایج کار حاضر پیش‌بینی نسبتاً بهتری نسبت به سایر نتایج عددی دارد. نتایج مربوط به توزیع دما، نشانگر این است که هسته محفظه هم دما باقی می‌ماند.



شکل ۲- مقایسهٔ پروفیل مولفه عمودی سرعت میانگین بی بعد شده کار حاضر با نتایج عددی و آزمایشگاهی موجود بر روی خط مرکزی موازی محور  $X$



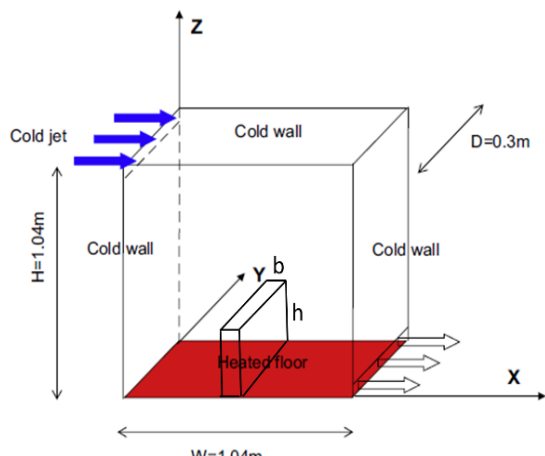
شکل ۳- مقایسهٔ پروفیل دمای بی بعد کار حاضر با نتایج عددی و آزمایشگاهی موجود روی خط مرکزی موازی محور  $Z$

یافته‌اند. دمای صفحه گرم زیرین (کف محفظه) برابر ۳۵ درجه سانتی گراد است. سایر دیوارها در دمای ۱۵ درجه سانتی گراد هستند. در جهت عمق (y) شرط مرزی پریویدیک استفاده شده است. ویژگی‌های هوا در دمای مرجع  $T_{mean}$  ۲۹۸ درجه کلوین (K) عبارتند از:

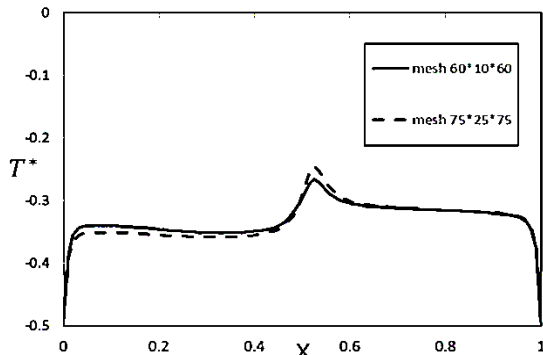
چگالی ( $\rho_{air}$ ) برابر با:  $1/2$  کیلوگرم بر متر مکعب ویسکوزیته سینماتیکی ( $v_{air}$ ) برابر با:  $5 \times 10^{-5} m^2.s^{-1}$  و ضریب نفوذ گرمایی ( $\alpha_{air}$ ) برابر با:  $2/1 \times 10^{-5} m^2.s^{-1}$  که بر اساس پارامترهای بالا مقادیر اعداد بی بعد عبارتند از:  $Ra_H = 2/4 \times 10^{-9}$  عدد رایلی بر اساس ارتفاع محفظه،  $Re_h = 684$  عدد رینولدز بر اساس ارتفاع ورودی هوای سرد:  $Fr_h = \frac{U_{inj}}{\sqrt{g\beta h \Delta T}} = 5/24$  سرعت در بخش ورودی سیستم تهویه محفظه برابر  $\frac{m}{s} = 0.57 U_{inj}$  است.

در کار حاضر در مقابل جریان مانعی قرار داده شده است و اثرات این امر با قرار دادن سه مانع با ضخامت یکسان، ولی ارتفاع‌های متفاوت بررسی شده است. محل مانع درست در وسط محفظه، مطابق شکل ۱ است.  $he$  ارتفاع مانع و  $b$  ضخامت آن است. مشخصات سه مانع مختلف به صورت زیر است:

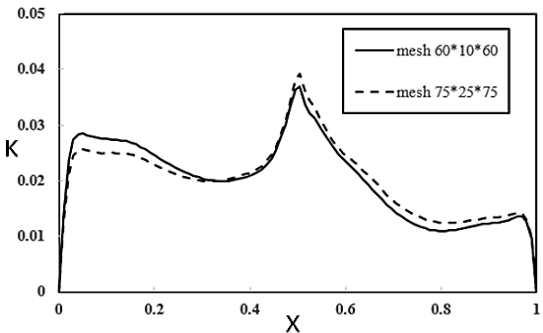
$$\begin{array}{lll} \frac{b}{H} = 0/0.1 & \frac{he}{H} = 0/4 & :(\text{case 1}) \\ \frac{b}{H} = 0/0.1 & \frac{he}{H} = 0/12 & :(\text{case 2}) \\ \frac{b}{H} = 0/0.1 & \frac{he}{H} = 0/0.1 & :(\text{case 3}) \end{array}$$



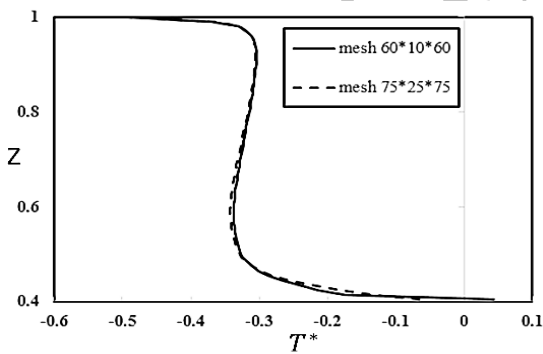
شکل ۱- شماتیکی از هندسهٔ محفظه دارای مانع



شکل ۵- پروفیل دمای بی بعد شده روی خط مرکزی موازی محور  $Z$  در مشهای مختلف برای حالت مانع اول



شکل ۶- پروفیل انرژی جنبشی بی بعد در مشهای مختلف برای حالت مانع اول ب روی خط مرکزی موازی محور  $X$



شکل ۷- پروفیل دمای بی بعد شده در مشهای مختلف برای حالت مانع اول بر روی خط مرکزی موازی محور  $Z$

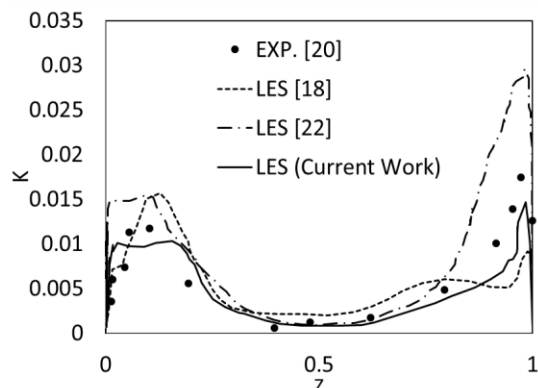
## ۶- نتایج

در این بخش ابتدا نتایج مشخصه‌های جریان مانند، سرعت، دما و انرژی جنبشی توربولانس حاصل از شبیه‌سازی عددی برای حالت محفظه بدون مانع با حالت با مانع مقایسه شده

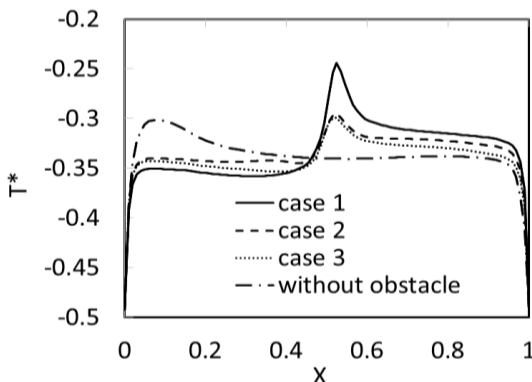
نتایج کار حاضر، نشانگر این است که مقدار توربولانس در وسط محفظه بسیار ناچیز است، در حالی که در نزدیکی دیواره‌ها محسوس است که این موضوع نشانگر جریانی است که به دور یک هسته عایق می‌گردد.

## ۵- مطالعه مش

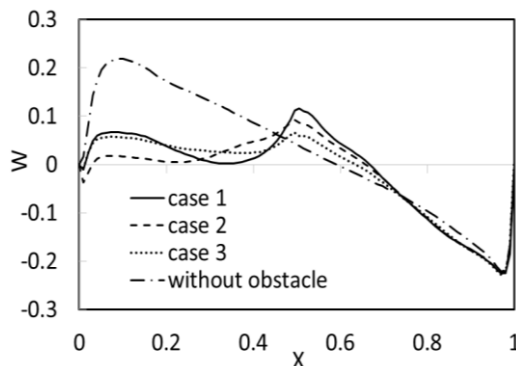
شبکه محاسباتی مورد استفاده در کار حاضر از نوع سازمان یافته است. مشبندی در جهت عمق  $y$  (جهت هموزن)، یکنواخت است، اما در جهت  $x$  و  $y$  از تراکم بیشتری در نزدیکی دیواره جامد برخوردار است. اولین مش در نزدیکی دیواره دارای  $1 < \frac{yu_e}{v_f} < 1$  کمتر از یک است. در این رابطه  $u_e$  سرعت اصطکاکی است. به منظور بررسی استقلال از مش مساله برای حالت محفوظه دارای مانع با بیشترین ارتفاع برای تعداد شبکه‌های متفاوت حل شد. نتایج دمای مرکزی محفوظه بی بعد و انرژی جنبشی توربولانس روی خط مرکزی محفوظه موازی محور  $x$  به ترتیب، در شکل ۵ و شکل ۶ نشان داده شده‌اند. به علاوه تغییرات دمای میانگین بی بعد در امتداد خط مرکزی محفوظه موازی محور  $z$  در شکل ۷ رسم شده است. نتایج مش بندی  $60 \times 10 \times 60$  و  $75 \times 25 \times 75$  به هم نزدیک است و نتایج مش  $96 \times 34 \times 96$  کاملاً منطبق بر مش  $75 \times 25 \times 75$  است؛ به همین دلیل در نمودارها نشان شbekه با نتایج مستقل در شبیه‌سازی‌ها، مورد استفاده قرار گرفت.



شکل ۴- مقایسه انرژی جنبشی بی بعد کار حاضر با نتایج عددی و آزمایشگاهی موجود بر روی خط مرکزی موازی محور  $Z$



شکل ۸- مقایسه پروفیل دمای بی بعد شده روی خط مرکزی موازی محور  $x$  برای حالت بدون مانع و حالت های با مانع



شکل ۹- مقایسه مولفه سرعت میانگین در جهت محور  $z$  بر روی خط مرکزی موازی محور  $x$  برای حالت بدون مانع با حالت های مانع دار

آن، نشانگر وجود یک گردابه بزرگ در بخش میانی محفظه در حالت بدون مانع است. نتایج برای حالت های مانع دار، آشکار کننده اثرگذاری مانع بر گردابه و شکستن آن است. به خصوص سمت چپ مانع ساختار گردابه، کاملا تحت تاثیر مانع متلاشی شده است.

شکل ۱۰ مقایسه پروفیل انرژی جنبشی بی بعد شده در جهت محور  $z$  برای حالت بدون مانع با حالت های مانع دار را نشان می دهد. نمودار انرژی جنبشی حالت بدون مانع، تخت تر از حالت های با مانع است. همانند نمودارهای قبلی در محل مانع مورد نظر، یک مقدار مکانیزم ایجاد شده است که مقدار این مکانیزم با افزایش ارتفاع مانع، افزایش می یابد. در قسمت قبل اشاره شد که در حالت بدون مانع در وسط محفظه مقدار انرژی جنبشی بسیار ناچیز است و فقط در

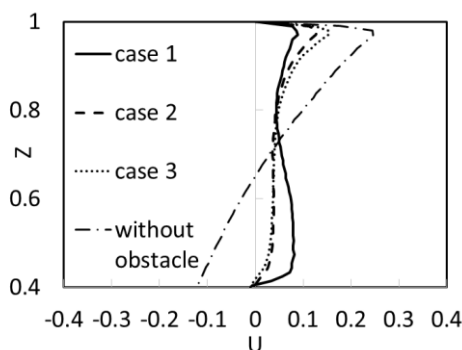
است. سپس با اعمال روش تفکیک به مودهای متعدد بر نتایج مربوط به نوسانات سرعت، به بررسی ساختارهای منسجم جریان پرداخته شده است.

#### ۶-۱- مقایسه مشخصه های جریان حالت بدون مانع با حالت های مانع دار

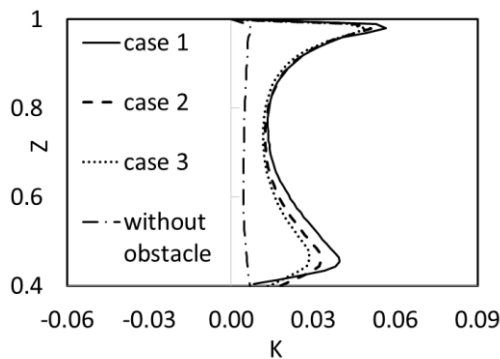
در این قسمت از کار حاضر، به مقایسه نتایج حاصل از شبیه‌سازی حالت بدون مانع با هر سه حالت با مانع پرداخته شده است. شکل ۸ مقایسه پروفیل دمای بی بعد شده در جهت محور  $x$  برای حالت بدون مانع و حالت های با مانع را نشان می دهد. مشاهده می شود که در محل مانع، یک ماکریزم ایجاد می شود. همانطور که از شکل هم مشخص است، هرچه مقدار ارتفاع مانع بیشتر می شود، مقدار این ماکریزم بیشتر می شود در واقع قرار دادن مانع باعث شده است که هسته محفظه هم دما باقی نماند. علت این موضوع، می تواند این باشد که چون مانع هم دما با کف محفظه و دما بالا است، لذا علاوه بر اینکه سبب تغییر ساختارهای جریان می شود، همانند فین عمل کرده و دمای سیال مجاور خود را بالا می برد؛ همچنین همانطور که از شکل ۱۰ مشخص است، مانع سبب افزایش آشفتگی جریان در بخش میانی محفظه می شود، لذا این آشفتگی میزان انتقال حرارت را افزایش داده. سبب بالا رفتن هر چه بیشتر دما در محل مانع می شود. علاوه بر این در  $0.5 < X < 0.8$  (سمت چپ مانع) دمای سیال حالت مانع دار، کمتر از حالت بدون مانع است، اما در  $0.8 < X < 1$  این روند بر عکس شده، دمای سیال در حالت محفظه مانع دار، بیشتر از حالت بدون مانع شده است.

شکل ۹ مقایسه مولفه سرعت میانگین در جهت محور  $x$  برای حالت بدون مانع با حالت های مانع دار را نشان می دهد. روند تغییرات برای هر سه حالت مانع دار یکسان است. در محل مانع مورد نظر، یک ماکریزم (پیک) ایجاد شده است که با افزایش ارتفاع مانع، این مقدار ماکریزم افزایش می یابد. در  $0.5 < X < 0.8$  مقدار سرعت در حالت های مانع دار بسیار کمتر از حالت بدون مانع شده است؛ در فاصله  $0.8 < X < 0.8$  مقدار سرعت در حالت های با مانع، بیشتر از حالت بدون مانع است. تغییرات علامت سرعت از مثبت، در قسمت سمت چپ محفوظه، به منفی، در بخش سمت راست

شکل ۱۳ مقایسه پروفیل انرژی جنبشی بی بعد شده در جهت محور  $X$  برای حالت بدون مانع با حالت های مانع دار را نشان می دهد. در هر چهار حالت، مقدار انرژی جنبشی در وسط محفظه، بسیار کمتر از دیواره هاست؛ اما در حالت های با مانع مقدار انرژی جنبشی در وسط محفظه، بیشتر از مقدار آن در حالت بدون مانع است. همانطور که از شکل هم مشخص است، در نزدیکی دیواره ها پیک ایجاد شده است که با افزایش ارتفاع مانع، مقدار آن افزایش می یابد. این ناحیه در واقع لایه بافر از پروفیل سرعت نزدیک دیواره است که در واقع محل تولید و نگهداری آشفتگی جریان است. با توجه به شکل حضور مانع، ساختارهای نزدیک دیواره را تقویت می کند که مستقیماً بر تولید و حفظ توربولانس موثر هستند و سبب افزایش انرژی توربولانس در این ناحیه می شود.



شکل ۱۳- مقایسه پروفیل مولفه سرعت میانگین بی بعد در جهت محور  $X$  بر روی خط مرکزی موازی محور  $Z$  برای حالت بدون مانع با حالت های مانع دار

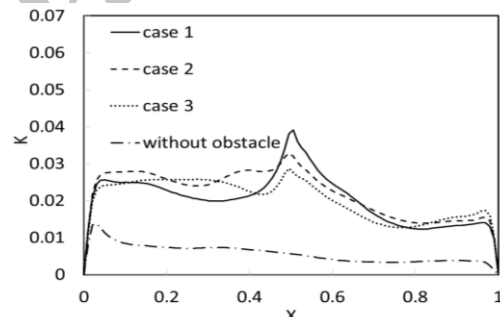


شکل ۱۴- مقایسه پروفیل انرژی جنبشی بی بعد بر روی خط مرکزی موازی محور  $Z$  برای حالت بدون مانع با حالت های مانع دار

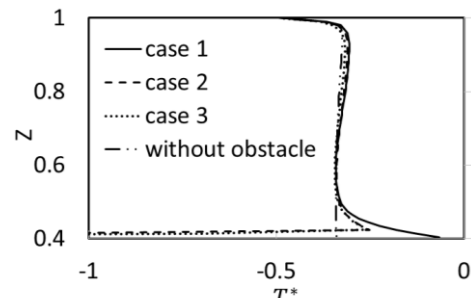
دیواره ها مقدار محسوسی دارد، اما مشاهده می شود که در حالت های مانع دار در وسط محفظه، هم مقدار انرژی جنبشی مقادیر محسوسی دارد و دارای پیک هایی در دیواره ها و در محل مانع است. علت افزایش انرژی جنبشی توربولانس در محل مانع، می تواند شکسته شدن ساختار تک گردابه ای اصلی جریان توسط مانع و تبدیل آن به ادی های کوچک و در نتیجه افزایش نوسانات سرعت و آشفتگی جریان باشد.

شکل ۱۱، مقایسه پروفیل دمای بی بعد شده روی محور  $X$  برای حالت بدون مانع با حالت های مانع دار را نشان می دهد. مانند نمودار دمای بی بعد روی محور  $Z$  در محل مانع یک ماکریزم ایجاد می شود که علت آن قبل از توضیح داده شد.

شکل ۱۲ مقایسه پروفیل مولفه سرعت میانگین بی بعد شده در جهت محور  $X$  برای حالت بدون مانع با حالت های مانع دار را نشان می دهد. با توجه به شکل، سرعت منفی تبدیل به سرعت مثبت شده است؛ لذا از بین رفتان گردابه اصلی جریان توسط مانع که قبل از توضیح داده شد، از این نمودار نیز مشهود است.

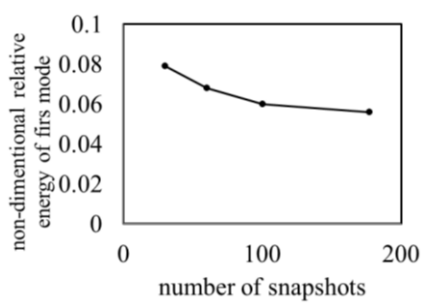


شکل ۱۵- مقایسه پروفیل انرژی جنبشی بی بعد روی خط مرکزی موازی محور  $X$  برای حالت بدون مانع با حالت های مانع دار

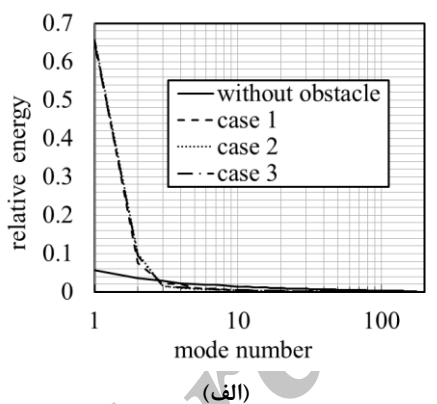


شکل ۱۶- مقایسه پروفیل دمای بی بعد بر روی خط مرکزی موازی محور  $Z$  برای حالت بدون مانع با حالت های مانع دار

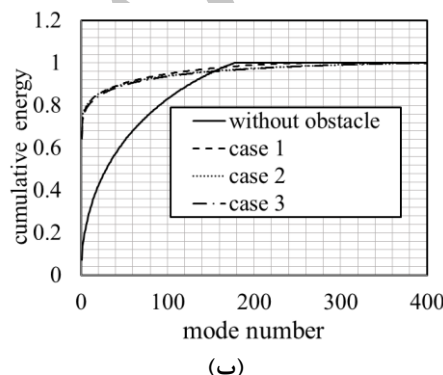
مانع و تبادل مومنتم با دیواره مانع ساختارهای بزرگ پر انرژی ایجاد می‌شود. همچنین تعداد مودهای لازم برای بازسازی میزان مشخصی از انرژی آشفتگی جریان در حالت بدون مانع بیشتر از حالت‌های با مانع می‌باشد. که این موضوع نشانگر این است که بر اثر برخورد جریان به مانع تعداد گردابهای بیشتری نسبت به حالت بدون مانع ایجاد می‌شود.



شکل ۱۴- بررسی استقلال از تعداد اسنپشات برای حالت بدون مانع



(الف)



(ب)

شکل ۱۵- انرژی نسبی مودهای مختلف برای مولفه نوسانی سرعت در جهت محور  $x$  (الف) مجزا و (ب) تجمعی

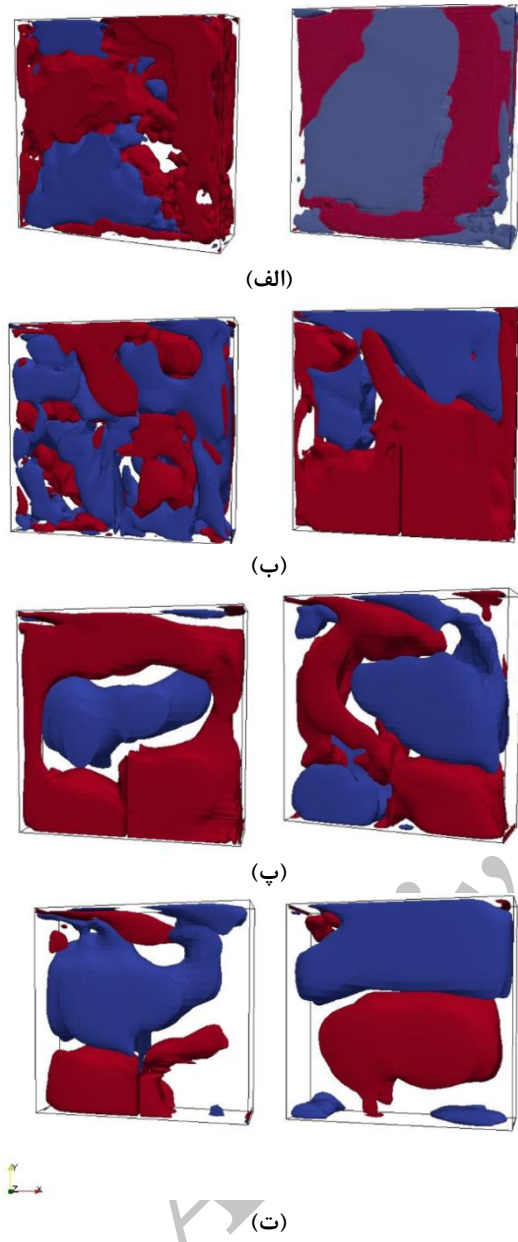
برای بررسی علت دقیق تغییرات نمودارهای فوق الذکر در ادامه روش تفکیک به مودهای متعامد به کار گرفته شده است.

#### ۶-۲-۶- تفکیک به مودهای متعامد مولفه نوسانی سرعت در جهت محور $x$

برای بررسی عمیقتر چگونگی تاثیر مانع بر جریان آشفته محفظه، الگوریتم تفکیک به مودهای متعامد به مولفه نوسانی سرعت در جهت محور  $x$  ( $u$ ) اعمال شده است و تاثیر مانع بر جریان آشفته مورد بررسی قرار گرفته است. سرعت نوسانی از تفریق سرعت میانگین از سرعت لحظه‌ای بدست می‌آید. الگوریتم تفکیک به مودهای متعامد به نتایج حاصل از شبیه‌سازی گردابهای بزرگ آشفته اعمال می‌شود. برای اینکه تحلیل بدست آمده از اعمال تفکیک به مودهای متعامد قابل اعتماد باشد باید ابتدا استقلال از تعداد اسنپشات‌ها بررسی شود. برای این منظور انرژی اولین مودهای متعامد از الگوریتم تفکیک به مودهای متعامد بر حسب تعداد اسنپشات‌ها برای محفوظه آشفته بدون مانع بررسی شده است که در شکل ۱۴ قابل مشاهده است.

با توجه به شکل ۱۴ تعداد اسنپشات ۱۷۷ برای اعمال الگوریتم تفکیک به مودهای متعامد به عنوان اسنپشات بهینه در نظر گرفته شده است. حال نتایج بدست آمده از اعمال الگوریتم تفکیک به مودهای متعامد به جریان محفوظه با موانع مختلف بررسی می‌شود.

باید توجه داشت که مودهای با شماره پایین نشانگر ساختارهای بزرگ و مودهای با شماره بزرگ نشانگر ساختارهای کوچک جریان می‌باشند. شکل ۱۵ الف انرژی نسبی مودها را به صورت جداگانه برای هر مود نشان می‌دهد، مشاهده می‌شود که انرژی مودهای با شماره پایین یا ساختارهای بزرگ برای حالت مانع دار بیشتر از حالت بدون مانع است. علاوه بر این، همانطور که مشاهده می‌شود با افزایش عدد مود، انرژی نسبی کاهش پیدا می‌کند. با توجه به شکل ۱۵ ب، مشاهده می‌شود که سرعت همگرایی نمودار انرژی تجمعی حالت‌های مانع دار بیشتر از حالت بدون مانع می‌باشد که نشان دهنده بیان بودن انرژی مودهای غالب و ساختارهای بزرگ جریان در حالت با مانع نسبت به محفوظه بدون مانع است. این بدین دلیل است که با برخورد جریان به



شکل ۱۶- کانتور هم سطح مولفه نوسانی سرعت در جهت محور  $x$  داخل محفظه، ستون راست مود اول، ستون چپ مود دوم، (الف) محفظه بدون مانع، (ب) محفظه با مانع حالت اول، (پ) محفظه با مانع حالت دوم و (ت) محفظه با مانع حالت سوم

مانع و دیواره فوقانی محفظه ایجاد می‌شوند؛ ولی برای حالت اول که ارتفاع مانع بیشترین است، ساختارهای پرانرژی کوچک‌تر و نامنظم‌تر است که نشانگر انرژی جنبشی بالاتر در این حالت است.

مطالعه انرژی تجمعی مودها، نشانگر این است که انرژی تجمعی ۲۰ مود اول برای حالت بدون مانع حدود  $۴۲/۱۸$ ٪، برای مانع اول حدود  $۸۴/۳۰$ ٪، برای مانع دوم حدود  $۸۵/۳۲$ ٪ و برای مانع سوم  $۸۵/۳۴$ ٪ است که در واقع نشان‌دهنده دوباره شدن انرژی تجمعی برای حالت‌های مانع دار نسبت به حالت بدون مانع است. این اتفاق بیانگر این است که ساختارهای بزرگ ایجاد شده در حالت با مانع، مجموعاً انرژی بیشتری نسبت به ساختارهای بزرگ حالت بدون مانع دارند و در نتیجه توربولانس در حالت مانع دار قویتر است.

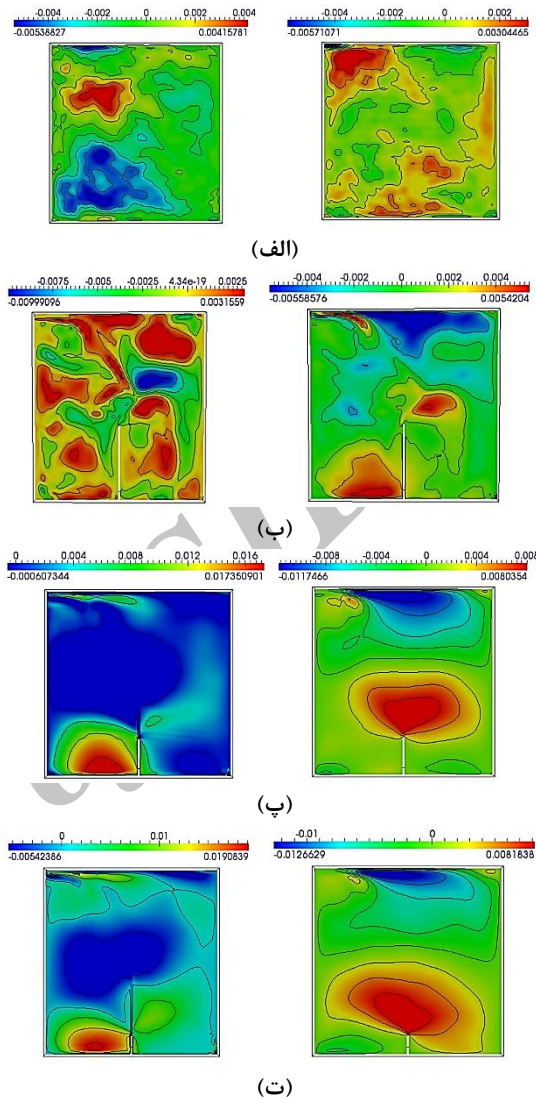
برای بررسی و تفسیر ساختارهای بزرگ پر انرژی، ۲ مود اول پرانرژی به صورت جداگانه برای هر ۴ حالت، مورد بررسی قرار گرفته‌اند. شکل ۱۶، کانتورهای هم سطح مودهای اول و دوم حاصل از نتایج اعمال الگوریتم تفکیک به مودهای متهمد بر مولفه نوسانی سرعت در جهت محور  $x$ ، برای هر چهار حالت بدون مانع و مانع دار را نشان می‌دهد. در این شکل، ساختارهای آبی رنگ مربوط به نوسانات منفی و ساختارهای قرمز، نوسانات مثبت را نشان می‌دهند. با توجه به این کانتورها این موضوع برداشت می‌شود که برای حالت بدون مانع (شکل ۱۵-الف)، شکل ساختارهای منسجم مثبت و منفی کل محفظه را پر می‌کنند؛ در صورتی که برای مانع‌های دوم (ارتفاع متوسط) شکل ۱۵-پ و سوم (ارتفاع کوچک) شکل ۱۵-ت ساختارهای منسجم مثبت و منفی به هم پیوسته و بزرگ‌تر می‌شوند؛ اما برای مانع اول (ارتفاع زیاد) در شکل ۱۵-ب مشاهده می‌شود که ارتفاع مانع، مانع از به هم پیوستن ساختارهای مثبت و منفی می‌شود و بالعکس ساختارهای پرانرژی جریان کوچک‌تر شده‌اند. این نتایج در واقع نشان‌دهنده علت نتایج مشاهده شده در بخش قبل است؛ به این صورت که در بخش قبل مشاهده شد که با قرار دادن مانع، انرژی جنبشی آشفتگی افزایش می‌یابد و این افزایش با کمتر شدن ارتفاع مانع کاهش می‌یابد. در واقع بزرگ‌تر شدن ساختارها با افزایش اندازه مانع، منجر به کاهش ماکریزم مقدار انرژی جنبشی آشفتگی در محفظه مانع دار می‌شود.

به منظور بدست آوردن اطلاعات دقیق و بیشتر از ساختارهای نوسانی، مودهای ویژه سرعت نوسانی در جهت محور  $x$  روی صفحه  $x-z$  در وسط محور  $z$ ، مورد بررسی قرار گرفته‌اند. طبق شکل ۱۷ مشاهده می‌شود که برای مانع‌های دوم و سوم ساختارهای غیر هم جهت بزرگ، در فضای بین

جریان برای حالت بدون مانع و حالت‌های با مانع نشان داد که دمای سیال مرکز محفظه از حالت همدما خارج و در محل مانع یک ماکریتم ایجاد می‌شود؛ همچنین مشاهده شد که هرچه ارتفاع مانع بیشتر می‌شود، مقدار این ماکریتم افزایش می‌یابد. به علاوه انرژی جنبشی توربولنس با قرار دادن مانع افزایش می‌یابد. در ادامه کار با اعمال الگوریتم تفکیک به مودهای متعدد (POD) به میدان سرعت نوسانی در جهت  $x$  ساختارهای منسجم استخراج شدند. نتایج نشانگر این بود که انرژی ساختارهای بزرگ (با شماره کوچک)، با وجود مانع، شدیداً افزایش می‌یابد؛ همچنین برای حالت بدون مانع، ساختارهای منسجم مثبت و منفی کل محفظه را پر می‌کنند؛ اما برای مانع‌های با ارتفاع متوسط و کوتاه ساختارهای منسجم مثبت و منفی به هم پیوسته و بزرگتر می‌شوند؛ در صورتی که برای مانع با ارتفاع زیاد مشاهده شد که ارتفاع مانع نه تنها از پیوستن ساختارها جلوگیری می‌کند، بلکه سبب کوچکتر شدن ساختارهای پرانرژی جریان می‌شود.

#### - مراجع

- [1] Alinia M, Ganji DD, Gorji-Bandpy M (2011) Numerical study of mixed convection in an inclined two sided lid driven cavity filled with nanofluid using two-phase mixture model. *Int J Heat Mass Transf* 38(10): 1428-1435.
- [2] Nasrin R (2011) Rayleigh and Prandtl number effects on free and forced magnetoconvection in a lid driven enclosure with wavy bottom wall. *Int J Energ and Tech* 3(23): 1-8.
- [3] Fereidoon A, Saedodin S, Hemmat Esfe M, Noroozi MJ (2013) Evaluation of mixed convection in inclined square lid-driven cavity filled with Al<sub>2</sub>O<sub>3</sub>/water nano-fluid. *Eng Appl Comp Fluid Mech* 7(1): 55-65.
- [4] Zheng GF, Ha MY, Yoon HS, Park YG (2013) A numerical study on mixed convection in a lid-driven cavity with a circular cylinder. *J Mech Sci Tech* 27(1): 273-286.
- [5] Jeng TM, Tzeng SC (2008) Heat transfer in a lid-driven enclosure filled with water-saturated aluminum foams. *Numer. Heat Trans A* 54(2): 178-196.
- [6] Ghasemi B, Aminossadati SM (2008) Comparison of mixed convection in a square cavity with an oscillating versus a constant velocity wall. *Numer Heat Trans A* 54(7): 726-743.
- [7] Sharif MAR (2007) Laminar mixed convection in shallow inclined driven cavities with hot moving lid on top and cooled from bottom. *Appl Therm Eng* 27(5): 1036-1042.



شکل ۱۷- مودهای ویژه مولفه نوسانی سرعت در جهت محور  $x$ - $z$  در وسط محور  $y$ . ستون راست مود اول، ستون چپ مود دوم (الف) محفظه بدون مانع، (ب) محفظه با مانع حالت اول، (پ) محفوظه با مانع حالت دوم و (ت) محفوظه با مانع حالت سوم.

#### - نتیجه گیری نهایی

در این مقاله در ابتدا جریان آشفته داخل محفظه سه بعدی با روش شبیه‌سازی گردابه‌های بزرگ حل و با نتایج تجربی و عددی موجود مقایسه شد. در ادامه در مقابل جریان داخل محفظه، ۳ مانع با ارتفاع‌های متفاوت، ولی ضخامت یکسان قرار داده شد. مقایسه پروفیل دمای بی بعد شده در جهت

- [23] Berkooz G, Holmes P, Lumley JL (1991) Intermittent dynamics in simple models of the turbulent wall layer. *J Fluid Mech* 230: 75-95.
- [24] Sirovich L (1987) Turbulence and the dynamics of coherent structures part I: coherent structures. *Q Appl Math* 45(3): 561-571.
- [25] Alfonsi G, Primavera L (2007) The structure of turbulent boundary layers in the wall region of plane channel flow. *Proc Royal Soci London A: Math Phys Eng Sci* 463, 2078, 593-612.
- [26] Wang Y, Yu B, Wu X, Wei J, Li F, Kawaguchi Y (2011) POD study on the mechanism of turbulent drag reduction and heat transfer reduction based on Direct Numerical Simulation. *Prog Comput Fluid Dyn* 11(3-4): 149-159.
- [27] Yang JC, LiF C, Cai WH, Zhang HN, Yu B (2014) On the mechanism of convective heat transfer enhancement in a turbulent flow of nanofluid investigated by DNS and analyses of POD and FSP. *Int J Heat Mass Trans* 78: 277-288.
- [28] Motlagh SY, Taghizadeh S (2016) POD analysis of low Reynolds turbulent porous channel flow. *Int J Heat Fluid Flow* 61: 665-676.
- [۲۹] موسائی ا (۲۰۱۴) مطالعه ساختمنهای گردابهای در جریان آشفته کanal حاوی میکروفیبر با استفاده از شبیه سازی مستقیم عددی. *مهندسی مکانیک مدرس* ۳(۳): ۸۵-۹۳.
- [۳۰] بازدیدی تهرانی ف، موسوی س، جدید م (۲۰۱۵) تحلیل خنک کاری لایه ای لبه جلویی پره تورین مدل توسط دو رهیافت DES و LES. *مهندسی مکانیک مدرس* ۸(۱۵): ۲۶۰-۲۷۸.
- [۳۱] رضائی م، مغربی م (۲۰۱۵) مطالعه ای عددی انتقال حرارت جابه جایی طبیعی مزدوج در محفظه ای بسته متخلخل به روش شبکه بولتمن. *مکانیک سازه ها و شاره ها* ۵(۲): ۲۱۷-۲۳۱.
- [۳۲] علوی ن، ارمغانی ط، ایزد پناه ب (۲۰۱۶) انتقال حرارت جابه جایی آزاد نانوسیال در محفظه L شکل بافلدار. *مکانیک سازه ها و شاره ها* ۶(۳): ۳۱۱-۳۲۱.
- [33] Wei Z, Zang B, New TH, Cui YD (2016) A proper orthogonal decomposition study on the unsteady flow behaviour of a hydrofoil with leading-edge tubercles. *Ocean Eng* 121: 356-368.
- [34] Gomez-Ramirez D, Ekkad SV, Moon HK, Kim Y, Srinivasan R (2017) Isothermal coherent structures and turbulent flow produced by a gas turbine combustor lean pre-mixed swirl fuel nozzle. *Exp Therm Fluid Sci* 81: 187-201.
- [35] Elhimer M, Harran G, Hoarau Y, Cazin S, Marchal M, Braza M (2016) Coherent and turbulent processes in the bistable regime around a tandem of cylinders including reattached flow dynamics by means of high-speed PIV. *J Fluid Struc* 60: 62-79.
- [36] Mahapatra PS, Chatterjee S, Mukhopadhyay A, Manna NK, Ghosh K (2016) Proper orthogonal [8] Wong JCF (2007) Numerical simulation of two-dimensional laminar mixed-convection in a lid-driven cavity using the mixed finite element consistent splitting scheme. *Int J Numer Method Heat Fluid Flow* 17(1): 46-93.
- [9] Luo WJ, Yang RJ (2007) Multiple fluid flow and heat transfer solutions in a two-sided lid-driven cavity. *Int J Heat Mass Trans* 50(11): 2394-2405.
- [10] Khanafar KM, Al-Amiri AM, Pop I (2007) Numerical simulation of unsteady mixed convection in a driven cavity using an externally excited sliding lid. *European J Mech B* 26(5): 669-687.
- [11] Ozturk HF, Dagtekin I (2004) Mixed convection in two-sided lid-driven differentially heated square cavity. *Int J Heat Mass Trans* 47(8): 1761-1769.
- [12] Shankar PN, Deshpande MD (2000) Fluid mechanics in the driven cavity. *Annu Rev Fluid Mech* 32(1): 93-136.
- [13] Yang OAWJ (2000) Mixed convection in cavities with a locally heated lower wall and moving sidewalls. *Numer. Heat Trans A* 37(7): 695-710.
- [14] Aydm O (1999) Aiding and opposing mechanisms of mixed convection in a shear-and buoyancy-driven cavity. *Int Commun Heat Mass Trans* 26(7): 1019-1028.
- [15] Mohamad AA, Viskanta R (1995) Flow and heat transfer in a lid-driven cavity filled with a stably stratified fluid. *Appl Math Model* 19(8): 465-472.
- [16] Mergui S (1993) Caractérisation expérimentale des écoulements d'air de convection naturelle et mixte dans une cavité fermée, thèse de l'Université de Poitiers, France.
- [17] Chen WZQ (2000) Large eddy simulation of natural and mixed convection airflow indoors with two simple filtered dynamic subgrid scale models. *Numer Heat Trans A* 37(5): 447-463.
- [18] Zhang Z, Zhang W, Zhai ZJ, Chen QY (2007) Evaluation of various turbulence models in predicting airflow and turbulence in enclosed environments by CFD: Part 2—Comparison with experimental data from literature. *Hvac&R Research* 13(6): 871-886.
- [19] Blay D, Mergui S, Niculae C (1993) Confined turbulent mixed convection in the presence of a horizontal buoyant wall jet. *ASME-PUBLICATIONS-HTD* 213: 65-65.
- [20] Blay D, Mergui S, Tuahault JL, Penot F (1993) Experimental turbulent mixed convection created by confined buoyant wall jets. In: *First Eur Heat Trans Conf UK* 821-828.
- [21] Xu W, Chen Q (2001) A two-layer turbulence model for simulating indoor airflow: Part I. Model development. *Ener Build* 33(6): 613-625.
- [22] Ezzouhri R, Joubert P, Penot F, Mergui S (2009) Large Eddy simulation of turbulent mixed convection in a 3D ventilated cavity: Comparison with existing data. *Int J Therm Sci* 48(11): 2017-2024.

- channel with built-in longitudinal vortex generators. *Int J Heat Mass Trans* 104: 178-198.
- [42] Lengani D, Simoni D, Ubaldi M, Zunino P, Bertini F (2017) Analysis of the Reynolds stress component production in a laminar separation bubble. *Int J Heat Fluid Flow* 64: 112-119.
- [43] Chen X, Xia H (2017) A hybrid LES-RANS study on square cylinder unsteady heat transfer. *Int J Heat Mass Trans* 108: 1237-1254.
- [44] Lengani D, Simoni D, Ubaldi M, Zunino P, Bertini F (2017) Experimental study of free-stream turbulence induced transition in an adverse pressure gradient. *Exp Therm Fluid Sci* 84: 18-27.
- [45] Bisoi M, Das MK, Roy S, Patel DK (2017) Large eddy simulation of three-dimensional plane turbulent free jet flow. *Euro J Mech B*.
- [46] Sirovich L, Ball KS, Handler RA (1991) Propagating structures in wall-bounded turbulent flows. *Theor Comput Fluid Dyn* 2(5-6): 307-317.
- [47] Germano M, Piomelli U, Moin P, Cabot WH (1991) A dynamic subgrid-scale eddy viscosity model. *Physics Fluid A: Fluid Dynamic* (1989-1993) 3(7): 1760-1765.
- decomposition of thermally-induced flow structure in an enclosure with alternately active localized heat sources. *Int J Heat Mass Trans* 94: 373-379.
- [37] Maurice G, Thiesset F, Halter F, Mazellier N, Chauveau C, Gökalp I, Kourta A (2016) Scale analysis of the flame front in premixed combustion using Proper Orthogonal Decomposition. *Exp Therm Fluid Sci* 73: 109-114.
- [38] Kaffel A, Mourah J, Harion JL, Russeil S (2016) TR-PIV measurements and POD analysis of the plane wall jet subjected to lateral perturbation. *Exp Therm Fluid Sci* 77: 71-90.
- [39] Sarkar S, Ganguly S, Biswas G, Saha P (2016) Effect of cylinder rotation during mixed convective flow of nanofluids past a circular cylinder. *Comput Fluids* 127: 47-64.
- [40] Villegas A, Diez FJ (2016) Effect of vortex shedding in unsteady aerodynamic forces for a low Reynolds number stationary wing at low angle of attack. *J Fluid Struc* 64:138-148.
- [41] Saha P, Biswas G, Mandal AC, Sarkar S (2017) Investigation of coherent structures in a turbulent